

ASİMETRİK İKİ FAZLI KISA DEVRE ROTORLU ASENKRON MAKİNANIN MODELLENMESİ VE SİMULASYONU

ERFİDAN T., ERFAN F..

Kocaeli Üniversitesi Müh. Fak. Elektrik Mühendisliği Bölümü, 41010, Kocaeli
tarik. @kou.edu.tr erfan@kou.edu.tr

Özet- Bir fazdan beslenen iki fazlı asimetrik asenkron makina, endüstride ve ev uygulamalarında yaygın olarak kullanılmaktadır. İki fazlı asenkron makinalar, daha az gürültü, moment ve hız salınımıları ile geleneksel motorlardan daha iyi performans gösterirler. Bu çalışmada kısa devre rotorlu asimetrik iki fazlı asenkron makinanın dinamik davranışlarının belirlenmesi amaçlanmıştır.

Anahtar Kelimeler : Simetrik park dönüşümü, modelleme, iki fazlı Asenkron Motor, referans eksen takımı, durum uzay modeli

I.GİRİŞ

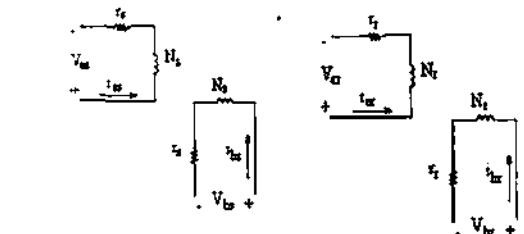
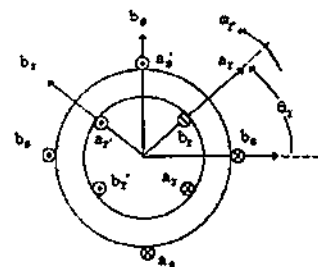
Senkron makinaların analizinde olduğu gibi, asenkron makinaların analizinde de modern kontrol teorisi ve durum uzayı yaklaşımı son yıllarda kullanımları en yaygın ve etkin yöntemlerden birisidir. Modern kontrol teorisi, sistem tasarımları ile analizi zaman domeninde gerçekleştirilir ve bu amaç için de bilgisayardan yararlanılır. Durum uzayı yaklaşımının kullanılması ile lineer olmayan ve zamanla değişken parametreli sistemlerin, ilk koşulları ile birlikte matematik modelleri kurulup, buradan da sayısal simulasyona geçilebilir. Asenkron makinanın durum uzayı modelinin kurulmasında, zamanla değişken katsayılı diferansiyel denklemlerden kurtulmak için simetrik park dönüşümü kullanılmaktadır.

II. MAKİNANIN ELEKTRİKSEL VE MEKANİKSEL UÇ DENKLEMLERİ-NİN YAZILMASI

İki fazlı, iki kutuplu asimetrik asenkron makinanın stator sargıları uzay düzleminde birbirinin eşdeğeri olmayan sargılardan oluşmaktadır. Stator, a sargasının sarım sayısı N_s ve iç direnci R_s , b sargasının sarım sayısı N_b ve iç direnci R_b 'dır. Rotor sincap kafesli olduğundan eşdeğer sargılardan oluşan dütşünlülmektedir. Herbir rotor sargasının sarım sayısı N_r ve iç direnci R_r 'dır. Şekil 1.'e göre makinanın elektriksel üç denklemleri yazılacak olursa[2],[3]:

$$[V_{sab}(t)] = [R_s] \cdot [i_{sab}(t)] + \frac{d[\psi_{sab}]}{dt} \quad (1)$$

$$[V_{rab}(t)] = [R_r] \cdot [i_{rab}(t)] + \frac{d[\psi_{rab}]}{dt} \quad (2)$$



Şekil 1. Asimetrik iki fazlı makinanın modeli ve eşdeğer devresi

Stator direnç matrisi:

$$R_s = \begin{bmatrix} R_s & 0 \\ 0 & R_s \end{bmatrix} \quad (3)$$

Akı matrisi aşağıdaki şekilde ifade edilmektedir;

$$\begin{bmatrix} [\psi_s] \\ [\psi_r] \end{bmatrix} = \begin{bmatrix} [L_{ss}] & [L_{sr}] \\ [L_{sr}]^T & [L_{rr}] \end{bmatrix} \cdot \begin{bmatrix} [i_s] \\ [i_r] \end{bmatrix} \quad (4)$$

burada:

$$L_{ss} = \begin{bmatrix} L_{iss} + L_{ms} & 0 \\ 0 & L_{irs} + L_{ms} \end{bmatrix} \quad (5)$$

$$L_{rr} = \begin{bmatrix} L_{irr} + L_{mr} & 0 \\ 0 & L_{irs} + L_{mr} \end{bmatrix} \quad (6)$$

Bu denklemelerde;

L_{1s} =Stator a sargasının kaçak endüktansı

L_{1s} =Stator b sargasının kaçak endüktansı

L_{as} =Stator a sargasının özendüktansı

L_{bs} =Stator b sargasının özendüktansı

L_{ir} =Rotor sargularının kaçak endüktansı

L_{dr} =Rotor sargularının özendüktansı

L_{sr} =Stator a sargasının rotor sargları ile oluşturduğu karşılıklı endüktansı

L_{sr} =Stator b sargasının rotor sargları ile oluşturduğu karşılıklı endüktansı göstermektedir.

Aşağıdaki moment denklemi ile mekanik denklem bulunmaktadır.

$$T_e(t) = \frac{P}{2} \cdot [I_{s,r}]^T \cdot \frac{\partial [L_{s,r}(\theta)]}{\partial \theta} \cdot [I_{s,r}] \quad (7)$$

Asimetrik iki fazlı asenkron makina için uygun matrisler yerine konulursa moment ifadesi;

$$T_e = \left(\frac{P}{2} \right) \cdot \begin{bmatrix} L_{sr} i_{sa} (i_{ra} \sin \theta_r - i_{rb} \cos \theta_r) \\ + L_{sr} i_{sb} (i_{ra} \cos \theta_r - i_{rb} \sin \theta_r) \end{bmatrix} \quad (8)$$

Şekilde bulunur. Moment ile rotor hızı arasındaki bağıntı ise,

$$T_e = j \cdot \left(\frac{2}{P} \right) \cdot \frac{d\omega}{dt} + T_L \quad (9)$$

Şekilde bassitleştirilebilir. Burada j makina miline indirgenmiş sistemin toplam eylemsizlik sabitini, ω açısal hızı, T_L yük momentini tanımlamaktadır. Böylece asimetrik makina için elektriksel ve mekaniksel üç denklemeler yazılmış olur.

III. ASİMETRİK ASENKRON MAKİNANIN D-Q DÖNÜŞÜMÜ

Elektriksel ve mekaniksel denklemelerdeki zamanla değişen katsayıları yok etmek için denklemeler sabit katsayılı forma sokmak için kullanılan d-q dönüşüm matrisi[3] aşağıdaki gibidir.

$$K_s = \begin{bmatrix} \cos \theta_s & \sin \theta_s \\ \sin \theta_s & -\cos \theta_s \end{bmatrix} \quad (10)$$

Faz dirençleri birbirlerine eşit değilse, ki dengesizlik veya asimetrik olma durumu, herhangi bir hızda dönen (ω) d-q ekseninde yapılan dönüşüm ile direnç matrisi θ 'nın sinüs biçiminde fonksyonları olmaktadır. Bu da dönüşüm mantığını terstir. Bu yüzden d-q eksenleri

nin açısal hızı sıfır alınmaktadır ve θ 'nın sinüs formundaki fonksiyonları elimine edilmiş olur.

Akıllara göre gerilim uç denklemeleri sabit referans eksen takımında yazılırsa ($\omega=0$);

$$V_{qs}^s = R_s \cdot i_{qs}^s + \frac{d\psi_{qs}^s}{dt} \quad (11)$$

$$V_{ds}^s = R_s \cdot i_{ds}^s + \frac{d\psi_{ds}^s}{dt} \quad (12)$$

$$V_{qr}^s = R_r \cdot i_{qr}^s + \frac{d\psi_{qr}^s}{dt} - \omega_r \psi_{dr}^s \quad (13)$$

$$V_{dr}^s = R_r \cdot i_{dr}^s + \frac{d\psi_{dr}^s}{dt} + \omega_r \psi_{qr}^s \quad (14)$$

birimde tanımlanır.

IV. ROTOR BÜYÜKLÜKLERİNİN STATORA İNDİRGENMESİ

Bilindiği gibi, asenkron makinaların eşdeğer devrelerinin geliştirilmesinde bütün rotor parametreleri stator parametrelerine dönüştürülmektedir. Asimetrik iki fazlı asenkron makinanın stator sargları eşit sarım sayılarından olusmadığı için değiştirme oranı aynı değildir. Bütün q parametreleri N_s sarımlı "as" sargasında, d parametreleri N_s sarımlı "bs" sargasında tanımlanmaktadır. Bu tür bir dönüşüm, bütün değişkenlerin $\omega = 0$ alarak yapılan sabit referans eksen takımındaki dönüşüm ile en iyi sonucu vereceği açıklıkta. Eğer bütün q parametreleri N_s sargasında ("as" sargası) ve bütün q parametreleri N_s sargasında ("as" sargası) ifade edilirse, statora dönüştürülmüş rotor büyüklikleri;

$$V'_{qr}^s = \frac{N_s}{N_r} V_{qr}^s \quad (15)$$

$$I'_{qr}^s = \frac{N_r}{N_s} I_{qr}^s \quad (16)$$

$$V'_{dr}^s = \frac{N_s}{N_r} V_{dr}^s \quad (17)$$

$$I'_{dr}^s = \frac{N_r}{N_s} I_{dr}^s \quad (18)$$

birimindedir. Buna göre, elektriksel üç denklemeler, rotor sargularının kısa devre olduğu düzülerek yazılığında aşağıdaki gibi tanımlanmaktadır.

$$\begin{bmatrix} \dot{i}_{qs}^s \\ \dot{i}_{ds}^s \\ \dot{i}_{qr}^s \\ \dot{i}_{dr}^s \end{bmatrix} = \frac{1}{\omega_t} \begin{bmatrix} X_s & 0 & X_{ms} & 0 \\ 0 & X_S & 0 & X_{mS} \\ X_{ms} & 0 & X_r & 0 \\ 0 & X_{mS} & 0 & X'_R \end{bmatrix} \frac{d}{dt} \begin{bmatrix} i_{qs}^s \\ i_{ds}^s \\ i_{qr}^s \\ i_{dr}^s \end{bmatrix} + \begin{bmatrix} R_s & 0 & 0 & 0 \\ 0 & R_S & 0 & 0 \\ 0 & -\frac{N_S \omega_r}{K_S \omega_t} X_{ms} & R_r & -\frac{N_S \omega_r}{K_S \omega_t} X'_R \\ \frac{N_S \omega_r}{K_S \omega_t} X_{mS} & 0 & \frac{N_S \omega_r}{K_S \omega_t} X'_r & R'_R \end{bmatrix} \begin{bmatrix} i_{qs}^s \\ i_{ds}^s \\ i_{qr}^s \\ i_{dr}^s \end{bmatrix} \quad (19)$$

ve mekanik üç denklemi;

$$T_e = \frac{P}{2} \cdot \frac{N_S}{N_s} \cdot \frac{X_{ms}}{\omega_t} \left(i_{qs} s' i_{dr}^s - i_{ds} s' i_{qr}^s \right) \quad (20)$$

şeklinde elde edilir.

V. MAKİNANIN DURUM UZAY MODELİNİN KURULMASI

Genel olarak, standart durum uzayı modeli, doğrusal, sabit katsayılı, çok değişkenli bir sistem için aşağıdaki şekildeki sekildedir[4];

$$\begin{bmatrix} \dot{\mathbf{X}} \end{bmatrix} = [\mathbf{A}] \cdot [\mathbf{X}] + [\mathbf{B}] \cdot [\mathbf{U}]$$

$$[\mathbf{Y}] = [\mathbf{C}] \cdot [\mathbf{X}] + [\mathbf{D}] \cdot [\mathbf{U}] \quad (21)$$

Bu çalışmada, (19) ve (20) nolu denklemlerden elektriksel ve mekaniksel bağıntılar dikkate alındığında türevli ifadeler sol tarafta kalacak şekilde durum uzay modeli kurulmaktadır. Seçilen motor parametreleri [1] aşağıdaki gibidir.

$$\begin{aligned} R_s &= 2.02\Omega & R_S &= 7.14\Omega \\ R_r &= 5.74\Omega & X_{ls} &= 2.79\Omega \\ X_{is} &= 3.22\Omega & X_{ms} &= 2.79\Omega \\ X_{lr} &= 2.12\Omega & X_R &= 2.95\Omega \\ X_{mS} &= 66.8\Omega & j &= 0.0146\text{kg/m}^2 \\ n &= 1.18 & P_k &= 2 \\ f &= 50\text{Hz} & S &= 1.5\text{kW} \end{aligned}$$

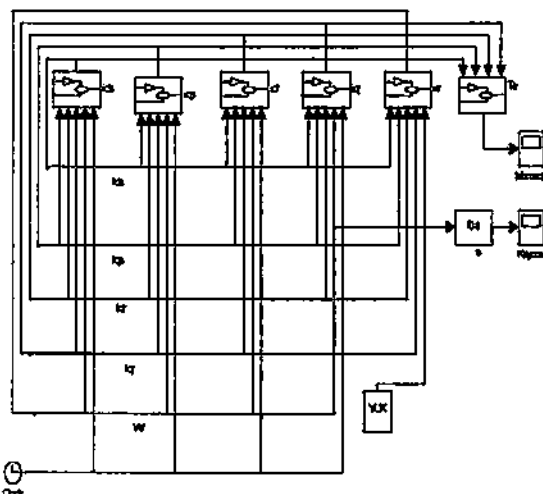
$$\frac{d}{dt} \begin{bmatrix} i_{qs}^s \\ i_{ds}^s \\ i_{qr}^s \\ i_{dr}^s \end{bmatrix} = [\mathbf{A}] \cdot \begin{bmatrix} V_{qs}^s \\ V_{ds}^s \\ 0 \\ 0 \end{bmatrix} - [\mathbf{B}] \cdot \begin{bmatrix} i_{qs}^s \\ i_{ds}^s \\ i_{qr}^s \\ i_{dr}^s \end{bmatrix} \quad (22)$$

$$\frac{d}{dt} \omega_t = \frac{0.251 P_k}{j} (i_{qs}^s i_{dr}^s - i_{ds}^s i_{qr}^s) - \frac{0.251}{j} \cdot T_L$$

asenkron makinanın durum uzayı modeli elektriksel ve mekaniksel olarak 22 no'lu denklemdeki gibi kurulmaktadır.

VI. ALTERNATİF GERİLİMLE BESLENEN MAKİNANIN SAYISAL SİMÜLASYONU

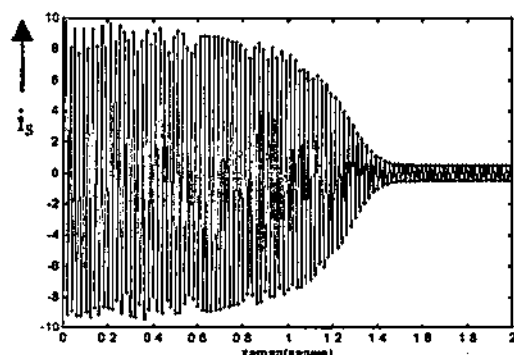
Simülasyonu yapılacak olan iki fazlı asenkron makinanın Matlab-Simulink[5] blok diyagramı Şekil 2'de gösterilmektedir. (h) olarak tanımlanan simülasyon zaman adımı 0.001 alınmaktadır.



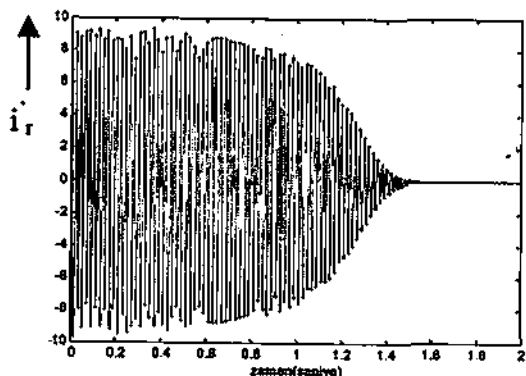
Şekil 2. Kısa devre rotorlu asimetrik iki fazlı asenkron makinanın Matlab-Simulink blok diyagramı.

VII. SİMÜLASYON SONUÇLARI

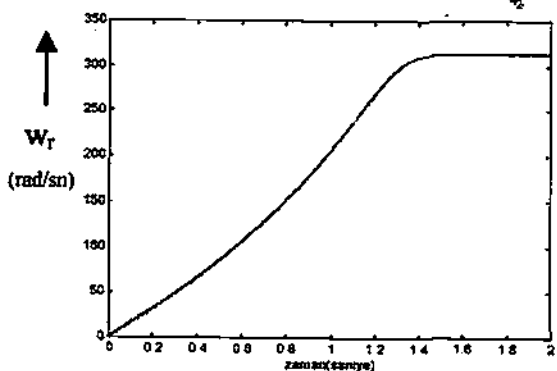
$T_L=0$ alınması halinde makina boşta çalışmaktadır, bu durumda simülasyon sonuçları aşağıda sunulmaktadır.



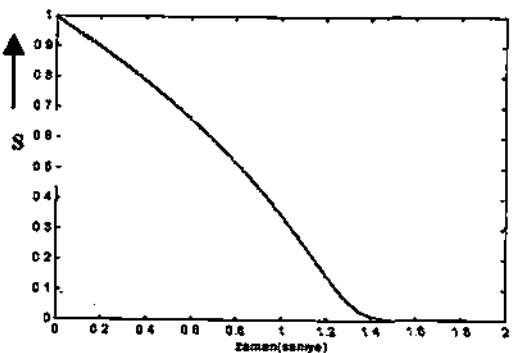
Şekil 3. Boşta çalışan makinada stator akımının zamana bağlı değişimi



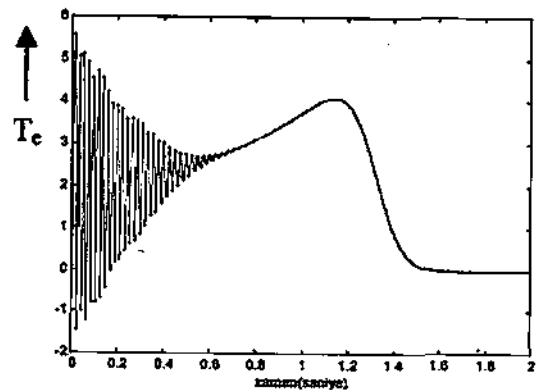
Şekil 4. Boşta Çalışan Makinada Statora İndirgenmiş rotor akımının zamana bağlı değişimi



Şekil 5. Boşta Çalışan Makinada rotor açısal hızının zamana bağlı değişimi

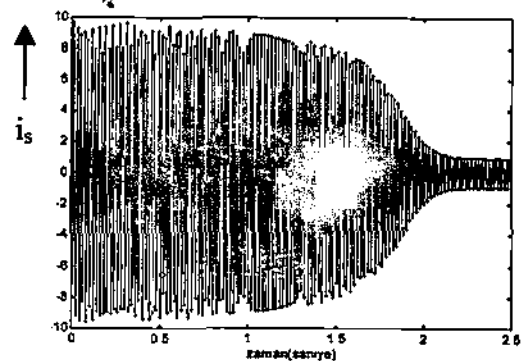


Şekil 6. Boşta Çalışan Makinada Kaymanın zamana bağlı değişimi

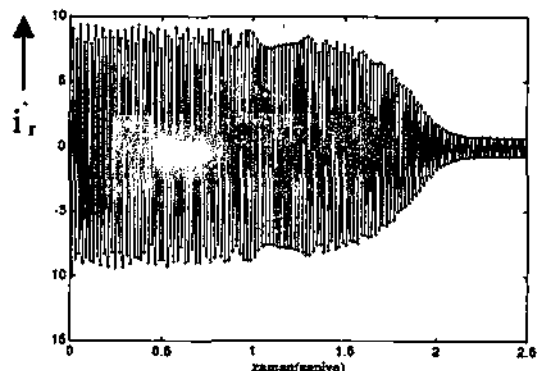


Şekil 7. Boşta Çalışan Makinada Elektriksel Momentin zamana bağlı değişimi

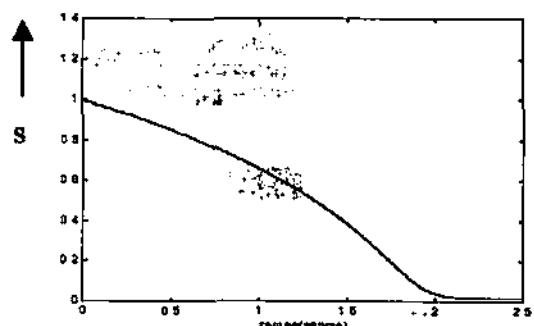
$T_L=1\text{Nm}$ alınması halinde durumda simülasyon sonuçları aşağıda sunulmaktadır.



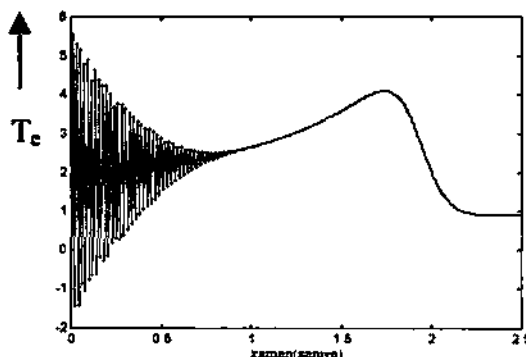
Şekil 8. 1Nm'lik yükle çalışan makinada stator akımının zamana bağlı değişimi



Şekil 9. 1Nm'lik yükle çalışan makinada Statora İndirgenmiş rotor akımının zamana bağlı değişimi



Şekil 10. 1Nm'lik yükle çalışan makinada Kaymanın zamana bağlı değişimi



Şekil 11. 1Nm'lik yükle çalışan makinada Elektriksel Momentin zamana bağlı değişimini

VII. SONUÇ

Makina yükselsiz olduğundan elektriksel çıkış momentine ait değişim aynı zamanda makinayı hızlandıran momenti de göstermektedir. Görüldüğü gibi $t=0$ anında dengeli iki fazlı gerilimin uygulanması ile, elektriksel moment genlikleri giderek azalan sinus formunda salınımlar yaparak, pozitif bir ortalama momentle sistemi hızlandırmaya başlamaktadır. Makina senkron devir sayısının yaklaşık %60'ma ulaşması ile, salınımlar giderek sönümekte ve moment sürekli rejim davranışlarından beklentiği gibi devrilerek sıfıra hızlı bir şekilde düşmektedir. Bu arada rotor hızı, makina yükselsiz ve sırtlanmamış olarak tanımlandığından, senkron hızza ulaşmaktadır. Kayma ise sıfıra düşmektedir. Bu üç değişim, modelin gerçek makina davranışlarına uygun sonuçlar verdiği göstermektedir. Elektriksel moment ve rotor hızına bağlı olarak yorumlanabilecek bir başka değişim de stator akımlarında görülmektedir. Makinaya etki eden sırtlanma kuvvetleri ve yük momenti bulunmadığından, makinanın sürekli rejimde sadece mıknatışlanma akımını çekmesi beklenir. Eğer incelediğinde sürekli rejimde akımların küçük değerler gösterdiği gözlenmektedir, ki bu akımda mıknatışlanma akımıdır. Statora benzer şekilde rotor akımları da incelenecak olursa, bu akımların sıfıra düşlüğü görüülür. Bu durum, yük ve sırtlanma momenti bulunmaması nedeniyle rotor hızının senkron hızza ulaşması, bir başka deyişle rotor devresinin açık devre olmasının sonucudur.

Makinanın 1Nm'lik yük ile yüklenmesi durumunda, grafiklerden de görüleceği üzere, artık makinanın rotoru da akım çekmektedir ve yükten dolayı kayma sıfır değerine düşmemektedir. Geçici rejimden sonra, elektriksel çıkış momenti yük momentine eşit duruma gelmektedir.

KAYNAKLAR

- [1] YOUNG, C.M., LIU, C.C., C.H., "New Inverter-Driven Desing and Control Method For Two-Phase Induction Motor Drivers", IEEE 1996.
- [2] HANCOCK, N. N., "Matrix Analysis of Electrical Machinery", Pergamon Press Ltd, 1974.
- [3] KRAUSE, P. C., "Analysis of Electrical Machinery", McGraw-Hill Series in Electrical Engineering, 1987.
- [4] BOSE, B. K., "Power Electronics and A.C. Drivers", Prentice Hall, 1986.
- [5] Matlab vrs 5.0, MatWORKS Inc.
- [6] ERFİDAN T., "Asimetrik İki Fazlı Kısa Devre Rotorlu Asenkron Makinanın Modellemesi ve Simülasyonu" Y. Lisans Tezi, KOU Fen Bilimleri Enstitüsü, Haziran 1998, KOCAELİ.